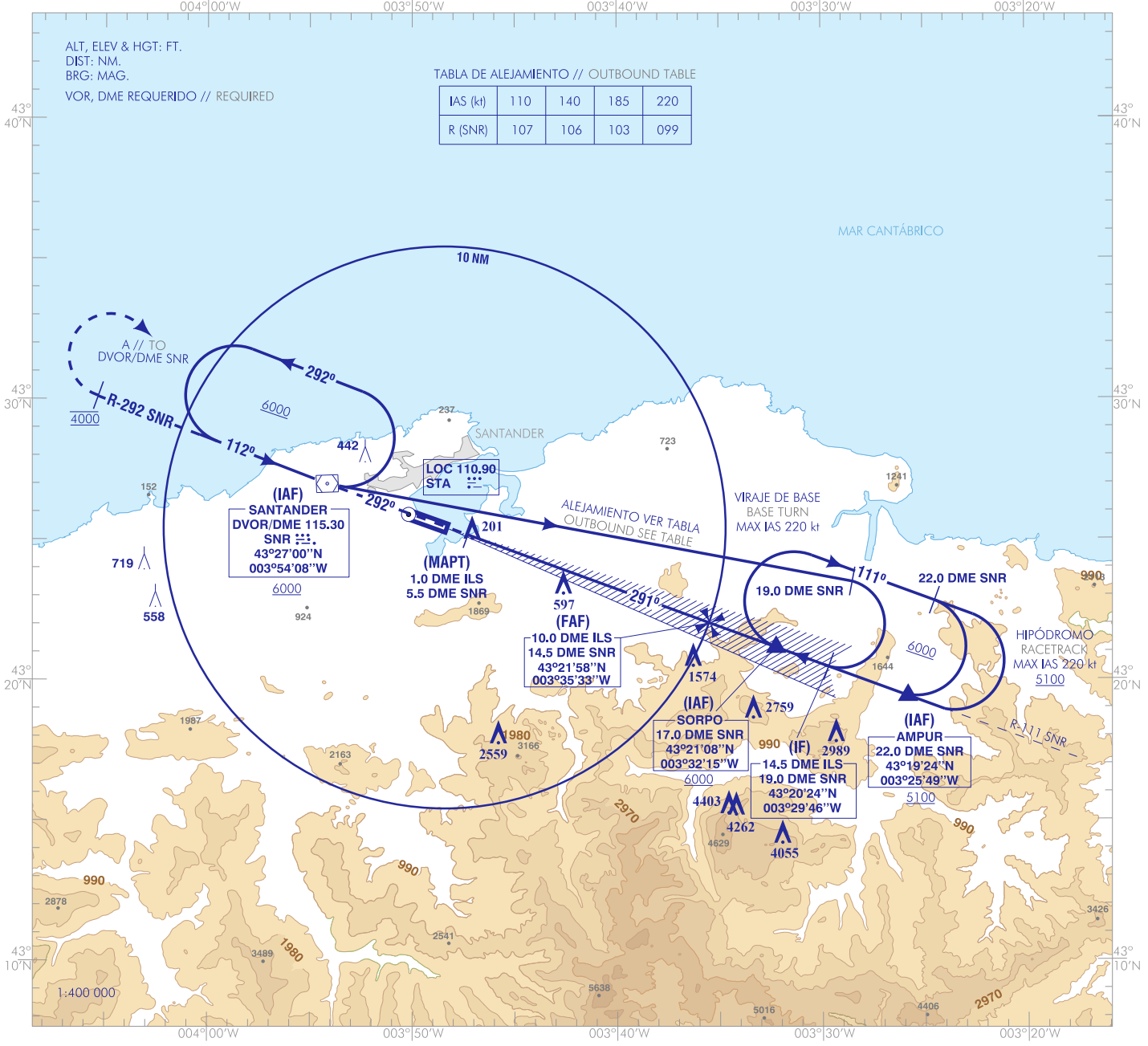


CARTA DE APROXIMACIÓN
POR INSTRUMENTOS-OACI

ELEV AD
16
VAR 1°W (2020)

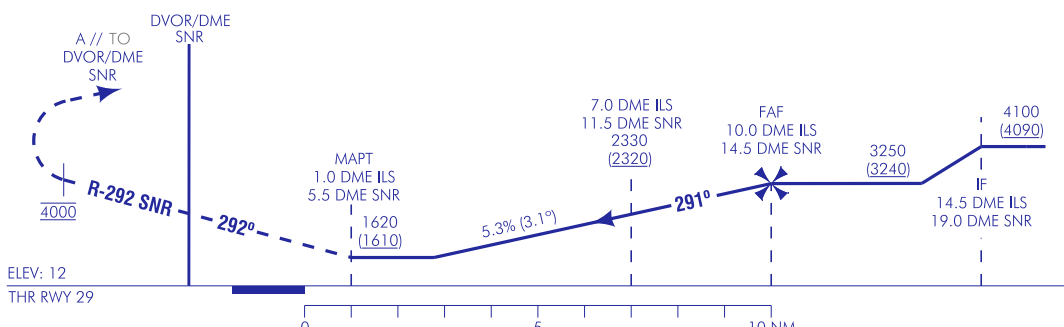
APP 118.375
TWR 118.100
GMC 121.700
ATIS 127.525

SANTANDER/Seve Ballesteros-Santander
LOC
RWY 29



FRUSTRADA: SUBIR EN RUMBO MAGNÉTICO 292° DIRECTO AL DVOR/DMR SNR. PROCEDER POR R-292 SNR HASTA 4000. VIRAR A LA DERECHA DIRECTO AL DVOR/DME SNR SUBIENDO A 6000 PARA INTEGRARSE A LA ESPERA.

MISSED APCH: CLIMB ON MAGNETIC HEADING 292° DIRECT TO DVOR/DME SNR. PROCEED AT R-292 SNR UP TO 4000. TURN RIGHT DIRECT TO DVOR/DME SNR CLIMBING AT 6000 TO JOIN THE HOLDING.

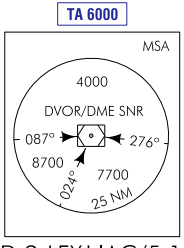


CAMBIOS: FREQ DE NUEVO ATIS.
CHANGES: NEW ATIS' FREQ.

HGT REF ELEV AD		A	B	C	D
OCA/H		A	B	C	D
STA	2.5%		1620 (1610)		
En círculo (H) sobre Circling (H) over		1620 (1610)	2010 (2000)	2500 (2490)	

GS	kt	80	100	120	140	160	180
FAF-THR: 10.0 NM	min:s	7:30	6:00	5:00	4:17	3:45	3:20
FAF-MAPT: 9.0 NM	min:s	6:45	5:24	4:30	3:51	3:23	3:00
ROD: 5.3 %	ft/min	432	540	648	756	863	971

ALT/HGT DME (ILS) FNA												
13	12	11	10	9	8	7	6	5	4	3	2	1
				2980 (2970)	2660 (2650)	2330 (2320)	2010 (2000)	1690 (1680)				



SANTANDER/Seve Ballesteros-Santander AD

REQUISITOS DE LA BASE DE DATOS AERONÁUTICA
 AERONAUTICAL DATABASE REQUIREMENTS

PROCEDIMIENTOS DE APROXIMACIÓN POR INSTRUMENTOS // INSTRUMENT APPROACH PROCEDURES

LOC RWY 29

PUNTO POINT	LATITUD LATITUDE	LONGITUD LONGITUDE	AZIMUT VERDADERO TRUE BEARING	DISTANCIA DME DME DISTANCE (NM)
DVOR/DME SNR (IAF)	43°26'59.6"N	003°54'08.3"W	—	—
SORPO (IAF)	43°21'08.2"N	003°32'15.0"W	110.00° (SNR)	17.00 DME SNR
AMPUR (IAF)	43°19'24.2"N	003°25'49.4"W	110.00° (SNR)	22.00 DME SNR
IF	43°20'23.7"N	003°29'46.0"W	110.13° (LOC STA)	14.50 DME ILS
FAF	43°21'57.5"N	003°35'33.1"W	110.13° (LOC STA)	10.00 DME ILS
MAPT	43°25'04.3"N	003°47'08.0"W	110.13° (LOC STA)	1.00 DME ILS
Aproximación final de no precisión - Pendiente (Ángulo de descenso) // Non-precision final approach - Slope (Descent angle)				5.33% (3.05°)

